

Entrée et sortie: Système Offset Reflective ORS18a pour la teinte CIELAB relative  $h_{ab,a,rel} = h_{ab}/360 = 31/360 = 0.08$

$H^*_- = R00Y_-$

Données de couleurs périphériques (d)

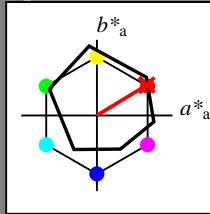
ou élémentaires (e):

$HIC^*_-$

code de teinte pour les couleurs de cette page:

$H^*_- = R00Y_-$

triangle de luminosité  $T^*$



ORS18a; données CIELAB (a) adaptées

| nom                | $L^*=L^*_a a^*_a$ | $b^*_a$ | $C^*_{ab,a}$ | $h^*_{ab,a}$ |     |
|--------------------|-------------------|---------|--------------|--------------|-----|
| R <sub>-,Ma</sub>  | 47.9              | 65.3    | 50.5         | 82.6         | 37  |
| Y <sub>-,Ma</sub>  | 90.3              | -10.2   | 91.7         | 92.3         | 96  |
| G <sub>-,Ma</sub>  | 50.9              | -62.8   | 34.9         | 71.9         | 150 |
| C <sub>-,Ma</sub>  | 58.6              | -30.3   | -45.0        | 54.2         | 236 |
| B <sub>-,Ma</sub>  | 25.7              | 31.0    | -44.4        | 54.2         | 305 |
| M <sub>-,Ma</sub>  | 48.1              | 75.2    | -8.3         | 75.7         | 353 |
| N <sub>-,Ma</sub>  | 18.0              | 0.0     | 0.0          | 0.0          | 0   |
| W <sub>-,Ma</sub>  | 95.4              | 0.0     | 0.0          | 0.0          | 0   |
| R <sub>-,CIE</sub> | 39.9              | 58.7    | 27.9         | 65.0         | 25  |
| Y <sub>-,CIE</sub> | 81.2              | -2.8    | 71.5         | 71.6         | 92  |
| G <sub>-,CIE</sub> | 52.2              | -42.4   | 13.6         | 44.5         | 162 |
| B <sub>-,CIE</sub> | 30.5              | 1.4     | -46.4        | 46.4         | 271 |

Les données de couleur maximale (Ma):

$LabCh^*_{-,Ma}: 48\ 66\ 40\ 77\ 31$

$HIC^*_{-,Ma}: R00Y\_100\_100_-$

$rgbic^*_{-,Ma}: 1.0\ 0.0\ 0.0\ 1.0\ 1.0$

triangle de luminosité  $T^*$

% Gamme  
 $u^*_{rel} = 92$   
 % Régularité  
 $g^*_{H,rel} = 57$   
 $g^*_{C,rel} = 58$

ORS20a; données CIELAB (a) adaptées

| $H^*_-$        | $L^*=L^*_a a^*_a$ | $b^*_a$ | $C^*_{ab,a}$ | $h^*_{ab,a}$ |     |
|----------------|-------------------|---------|--------------|--------------|-----|
| R00Y_100_100_- | 48.4              | 66.1    | 40.2         | 77.3         | 31  |
| R25Y_100_100_- | 56.8              | 48.0    | 50.5         | 69.6         | 46  |
| R50Y_100_100_- | 68.6              | 25.0    | 63.9         | 68.6         | 68  |
| R75Y_100_100_- | 80.6              | 4.8     | 77.2         | 77.3         | 86  |
| Y00G_100_100_- | 90.2              | -9.6    | 88.2         | 88.7         | 96  |
| Y25G_100_100_- | 83.2              | -18.4   | 79.9         | 81.9         | 102 |
| Y50G_100_100_- | 73.3              | -31.7   | 62.7         | 70.2         | 116 |
| Y75G_100_100_- | 62.0              | -49.7   | 43.2         | 65.8         | 139 |
| G00B_100_100_- | 55.8              | -65.2   | 33.8         | 73.4         | 152 |
| G25B_100_100_- | 59.3              | -50.3   | -9.0         | 51.0         | 190 |
| G50B_100_100_- | 63.0              | -30.5   | -42.0        | 51.9         | 234 |
| G75B_100_100_- | 45.7              | -5.7    | -44.6        | 44.9         | 262 |
| B00R_100_100_- | 27.5              | 25.9    | -47.3        | 53.9         | 298 |
| B25R_100_100_- | 38.3              | 52.6    | -28.5        | 59.8         | 331 |
| B50R_100_100_- | 49.5              | 73.5    | -9.0         | 74.0         | 353 |
| B75R_100_100_- | 48.9              | 69.3    | 12.9         | 70.4         | 10  |

